
































































NV
2-2
2 cm


2 cm

35-2

2 cm

Instituto Tecnológico GeoMinero de España

MAPA GEOLOGICO DE ESPAÑA
ESCALA 1:50.000

ALBUM FOTOGRAFICO

HOJA Nº 562 (22-22)
SACEDON

Mayo 1991

MINISTERIO DE INDUSTRIA, COMERCIO Y TURISMO



F-YP-AD 9501. Panorámica de la Sierra de Altomira. En primer término, el Embalse de Buendía.



F-YP-AD 9502. Fm. Carniolas de Cortes de Tajuña (unidad 1) junto a la ermita de San Antón.



F-YP-AD 9503. Tramo medio del corte de la ermita de San Antón. Los materiales amarillentos de la izquierda corresponden a la unidad (3), el resalte central a la (4) y el sector de la derecha a las unidades (5) y (6).



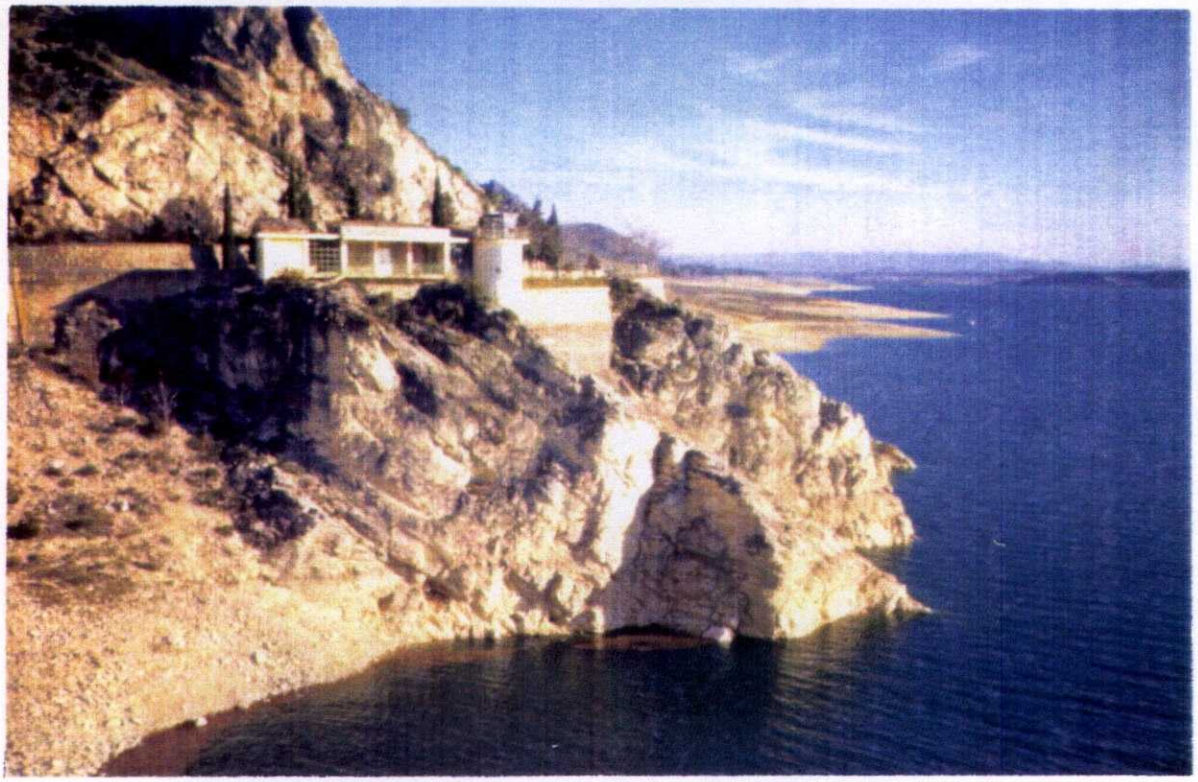
F-YP-AD 9504. Resalte producido por la Fm. Ciudad Encantada (unidad 4) junto a la cerrada de Entrepeñas. Obsérvese el aumento del espesor respecto a la fotografía anterior.



F-YP-AD 9505. Tramo superior del corte de la ermita de San Antón, constituido por la unidad (6).



F-YP-AD 9506. Tramo brechoide característico de la base de la Fm. Sierra de Utiel (unidad 6) junto a Entrepeñas.



F-YP-AD 9507. Dolomías tableadas de la Fm. Sierra de Utiel (unidad 6) junto a la cerrada de Buendía.



F-YP-AD 9508. Yesos nodulares de la Fm. Villalba de la Sierra (unidad 8) en la carretera Sacedón-Buendía.



F-YP-AD 9509. Arcillas rojas de la Fm. Villalba de la Sierra (unidad 8) en la carretera Sacedón-Buendía.



F-YP-AD 9510. Aspecto de la Unidad Paleógena inferior (unidad 9) junto al Embalse de Buendía.



F-YP-AD 9511. Niveles areniscosos (unidad 12) característicos de la Unidad Paleógeno-Neógena (unidad 11) en Buendía.



F-YP-AD 9512. Aspecto de la Unidad Paleógeno-Neógena junto al Embalse de Buendía.



F-YP-AD 9513. Niveles calcáreos intercalados en arcillas rojas correspondientes a la Unidad Paleógeno-Neógena (unidad 13) junto al embarcadero de Alcocer.



F-YP-AD 9514. Estructura sinclinal en Buendía, marcada por los resaltes de la Unidad Paleógeno-Neógena. El eje discurre por arcillas del Primer ciclo de la Unidad Neógena.



F-YP-AD 9515. Canales flvuiales (unidad 16) correspondientes al "Abanico del Guadiela" (unidad 15) en las proximidades del Alto de Villarrubio.



F-YP-AD 9516. Aspecto del Primer ciclo de la Unidad Neógena al E de Sacedón (unidad 18).



F-YP-AD 9517. Al fondo, la Mesa de Villalba del Rey, constituida por materiales de la Unidad Neógena.



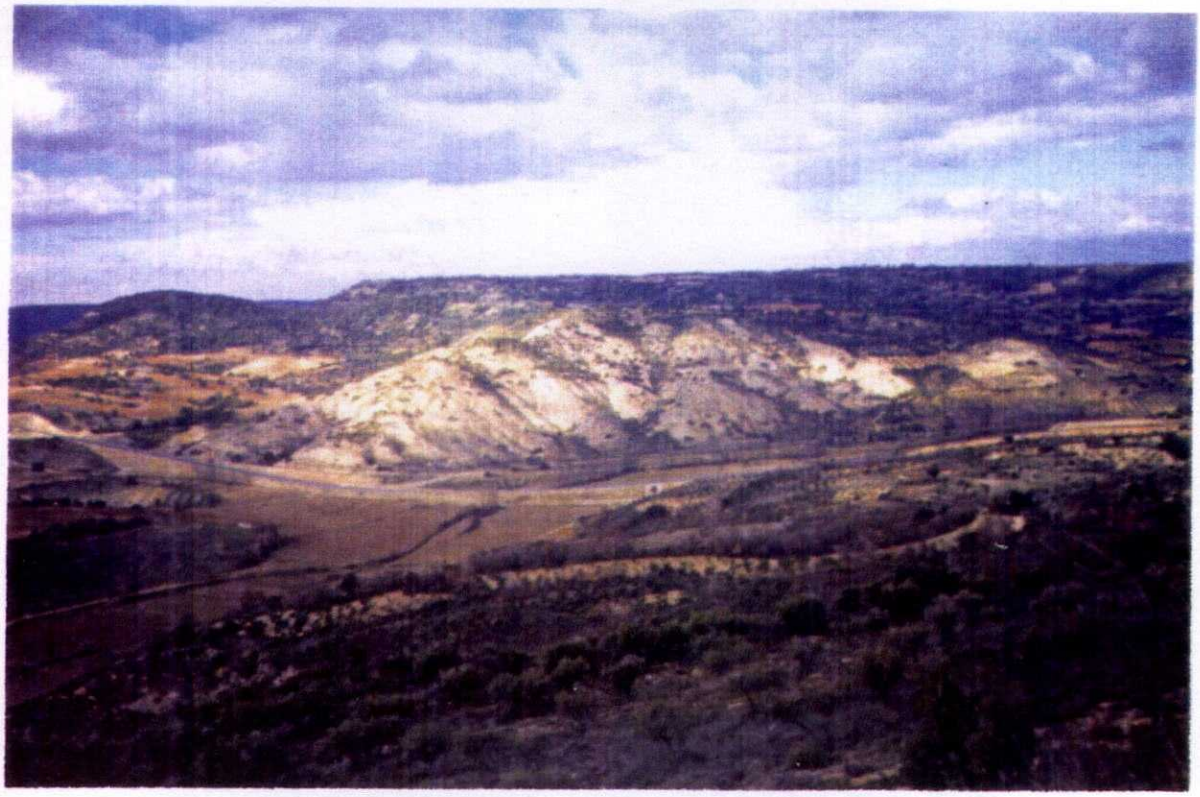
F-YP-AD 9518. Conjunto yesífero con el que culmina el Primer ciclo de la Unidad Neógena al N de Sayatón (unidad 17).



F-YP-AD 9519. Nuevo aspecto de la Mesa de Villalba del Rey.



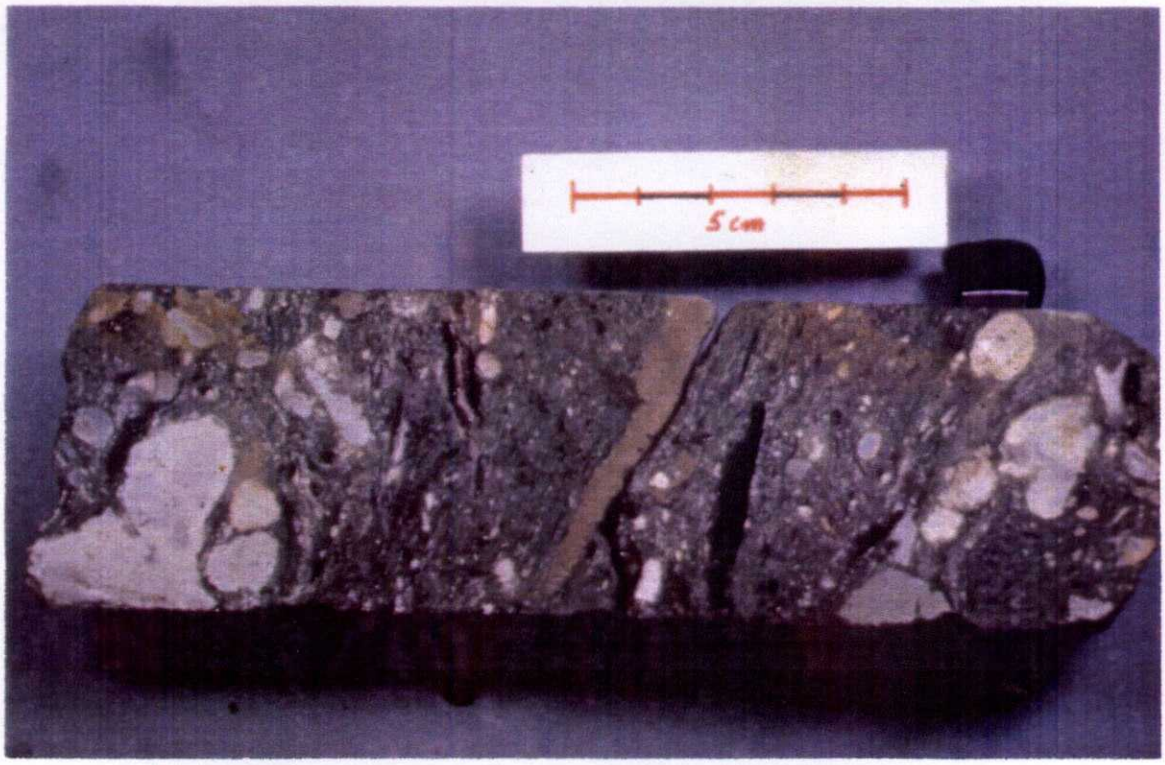
F-YP-AD 9520. Alternancia arcilloso-yesífera en la Mesa de Villalba del Rey, junto a esta localidad.



F-YP-AD 9521. Potente tramo yesífero, correspondiente al techo del Segundo ciclo de la Unidad Neógena (unidad 23) en las proximidades de Córcoles.



F-AD-TT 9541. Testigo de un sondeo realizado en el sector de Córcoles, en el que se observa la inclusión de componentes detríticos angulosos dentro de la unidad (26).



F-YP-TT 9542. Nuevo testigo, correspondiente a la misma unidad (26).



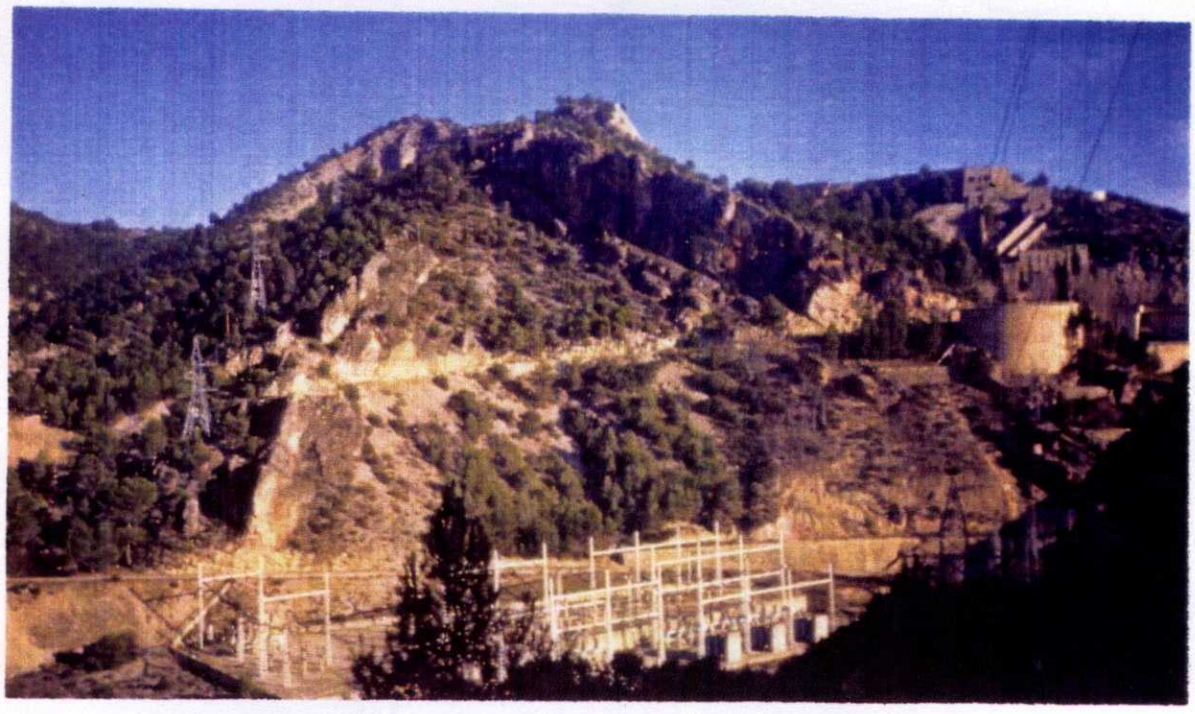
F-YP-AD 9522. Calizas del Tercer ciclo de la Unidad Neógena (unidad 27) en el paraje de La Dehesilla.



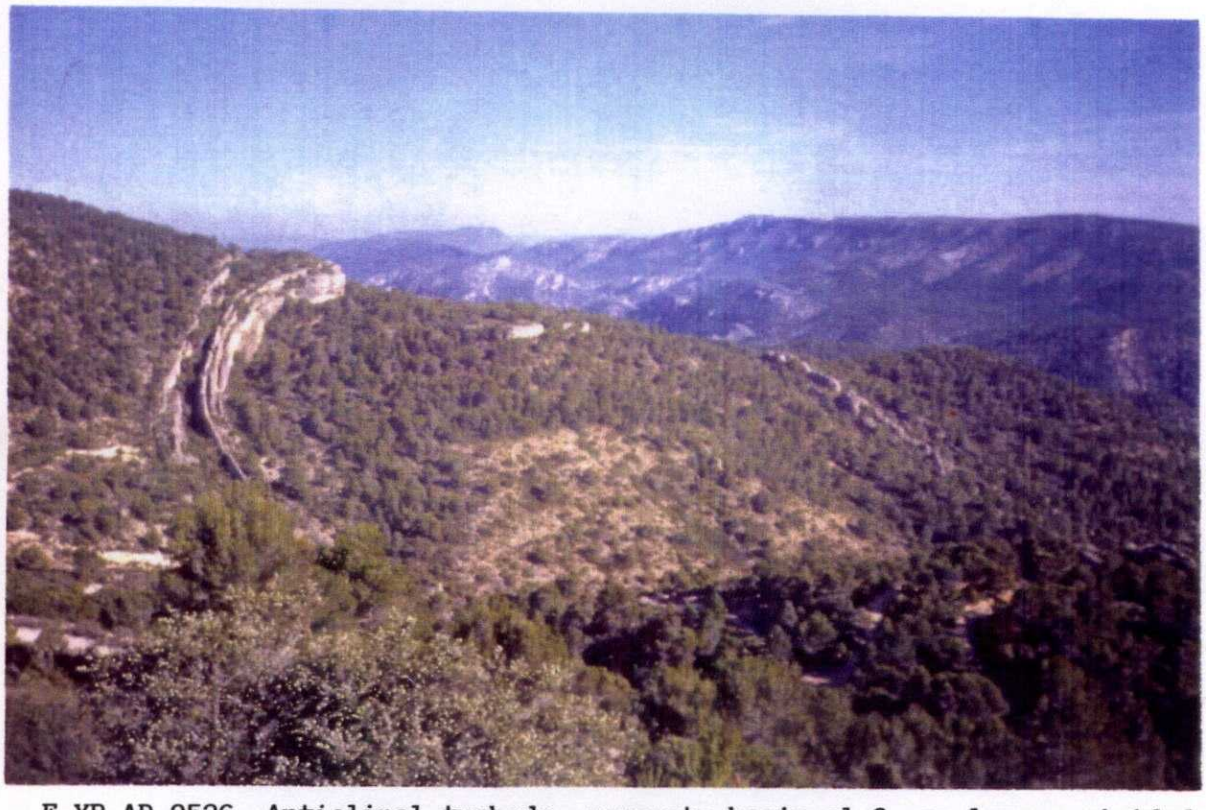
F-YP-AD 9523. Abanicos desarrollados a pie de la Sierra de Altomira, en la carretera Sacedón-Buendía (unidad 32).



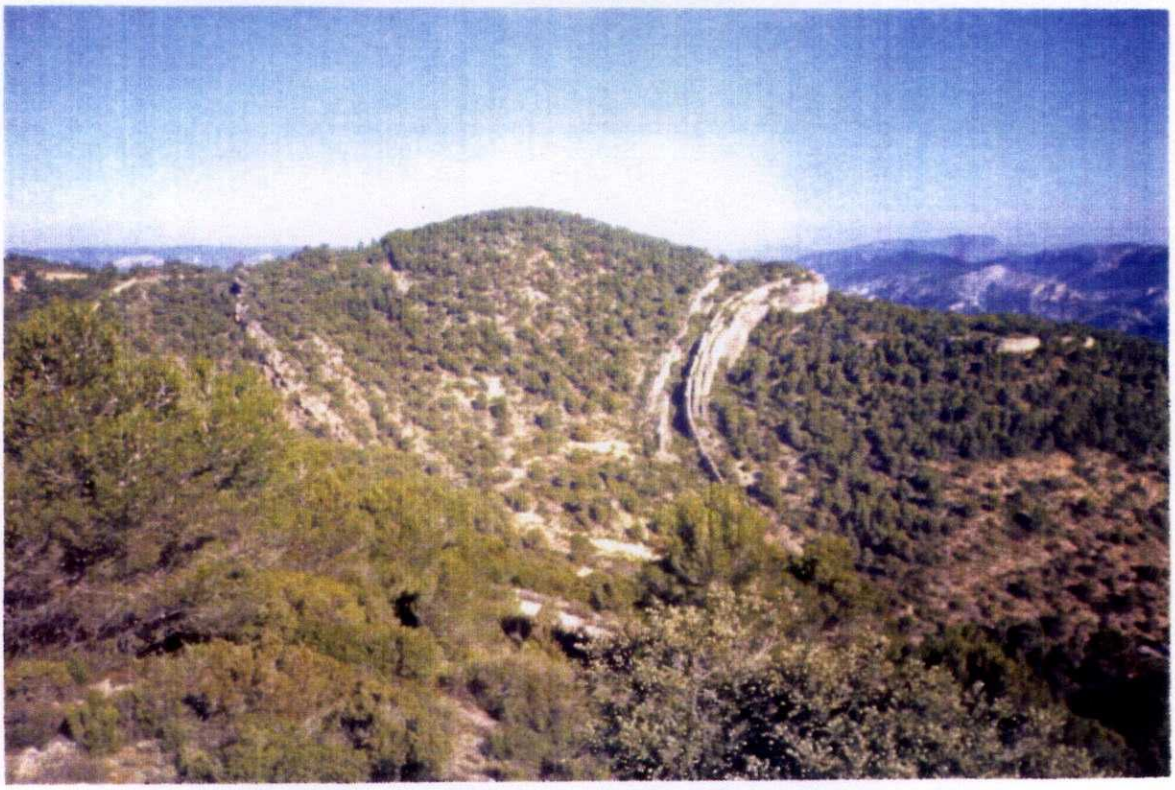
F-YP-AD 9524. Terraza media del río Tajo (unidad 34) en las proximidades de la Torre de Santa Ana.



F-YP-AD 9525. Anticlinal vergente hacia el O, afectando a la serie mesozoica de la Cerrada de Buendía.



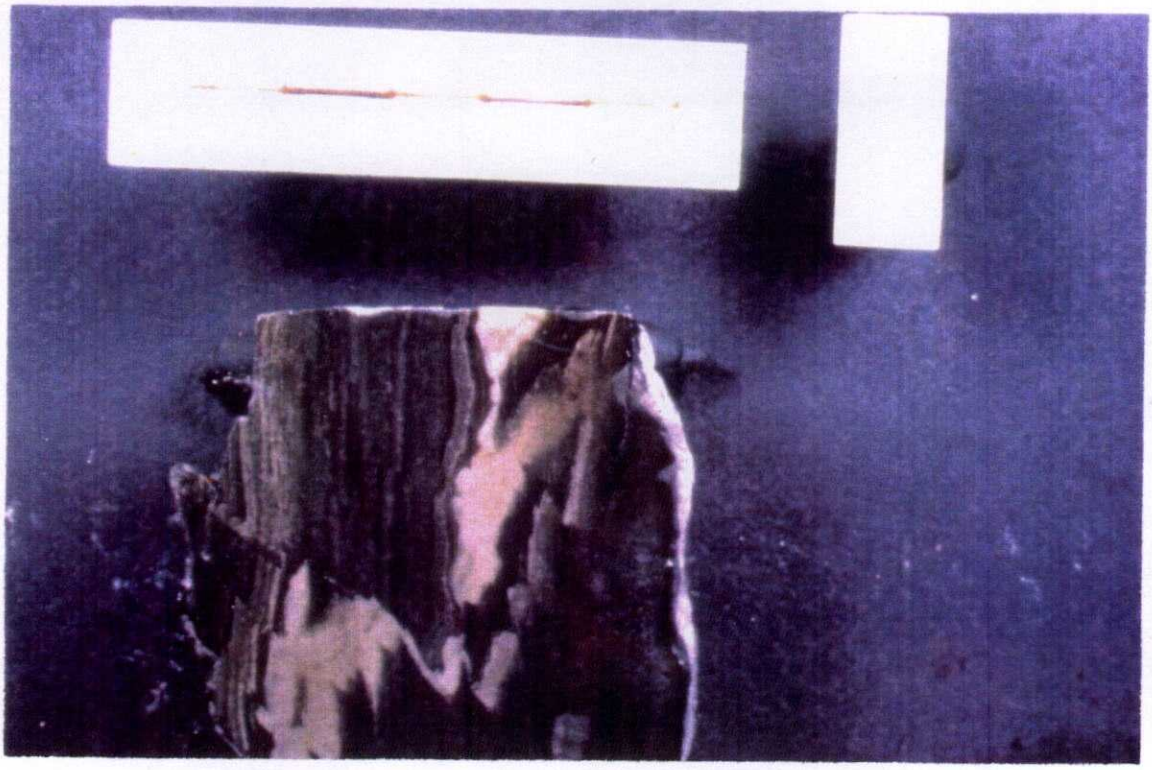
F-YP-AD 9526. Anticlinal tumbado, vergente hacia el O, en las proximidades de la ermita de San Antón.



F-YP-AD 9527. Sinclinal mostrando la misma vergencia.



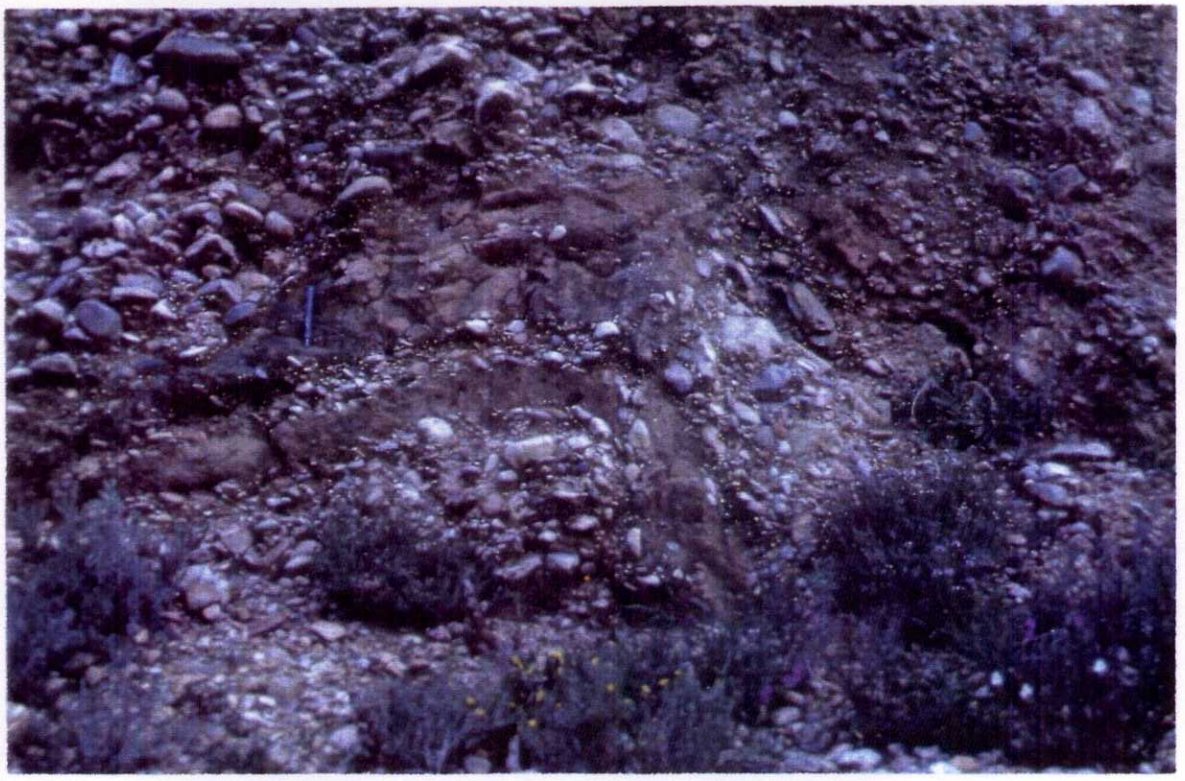
F-YP-AD 9528. Anticlinal de Córcoles, constituido por materiales correspondientes a la Unidad Paleógena inferior.



F-AD-TT 9543. Testigo de un sondeo próximo a Córcoles en el que se observa la intensa tectonización que afecta a la unidad (26).



F-YP-AD 9529. Intrusión margosa afectando a las gravas de una terraza del río Tajo en las inmediaciones de La Carrascosilla.



F-YP-AD 9530. Pliegue en rodilla afectando a los depósitos de la terraza anterior.



F-YP-AD 9531. Aspecto caótico de las gravas de la misma terraza.



F-YP-AD 9532. Fallas normales afectando a los depósitos de una terraza del río Tajo junto a la Torre de Santa Ana.



F-YP-AD 9533. Vista panorámica de la Mesa de Villalba del Rey.